

### III - 5 矩形泊地の水面振動について

東洋大学工学部 正良 吉高 益男

○はじめに 最近の港湾建設では土地の埋立てによって埠頭が作られたり、陸地を掘り込んで泊地を取ることなどにより、港内の形状は比較的簡単なものが多い。單純な泊地形状の水面振動は理論的にも解かれていって、大体の傾向は知りうる（Méhauté : Theory of Wave Agitation in a Harbor ; ASCE : Vol. 81, HY2, 61'）、入口をせばめても副振動が  $\omega_1 < \omega_2$  となり（harbor paradox）あつた（Miles, Munk : Harbor Paradox ; ASCE : Vol. 87, HY3, 61'）、反射波や副振動の組合せなどで初期立ち消えもあるが、その水面振動をあさえるについては尚問題が多い。

よって基本的な矩形形状の泊地に対する、反射波や副振動などの扱いがあつてゐるが、また若干の消波構造について実験的・計算を行つたのでここに報告する。すなはちは「高潮災害の発生的研究」（九大、藤原教授）の分担研究であり、長周期波による泊地の水面振動を求め、よりよい泊地形状を解明するための基礎実験であることを附記する。

○実験方法 当初の港湾実験水槽を長さ 16.2m, 幅 6m の大きさに区切り、全周囲を碎石による消波板で囲つた。水槽は図-1 に示す。矩形泊地の中（b）1.1m, 長さ（l）1.95m（基本長）で、先端は越波板より 10.5m に直角にあがれ水槽中に孤立してゐる。

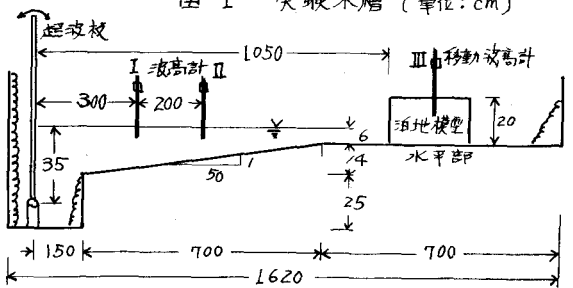
実験波は周期 2 秒で、矩形泊地を没れておいたときの波高は I で 2.74 cm, III で 2.92 cm (深水波高 2.61 cm) であつて、矩形泊地を没すると I で 3.30 cm になつた。波長は III で 1.95 m であり、長波として計算した 1.52 m (水深: 6 cm) と違つてゐた。1.95 m で逆算すると水深は 9 cm となり、水を打撃せねばならぬと考える。データーは基本波高 ( $H_0$ ) 2.92 cm, 基本波長 ( $L$ ) 1.95 m で整理した。

また港奥より港口に向かって X 方向、中方向を Y 方向といし、X-Y とも 10 cm 間隔に干支水波高計 (1 mm 精度) で測定した。

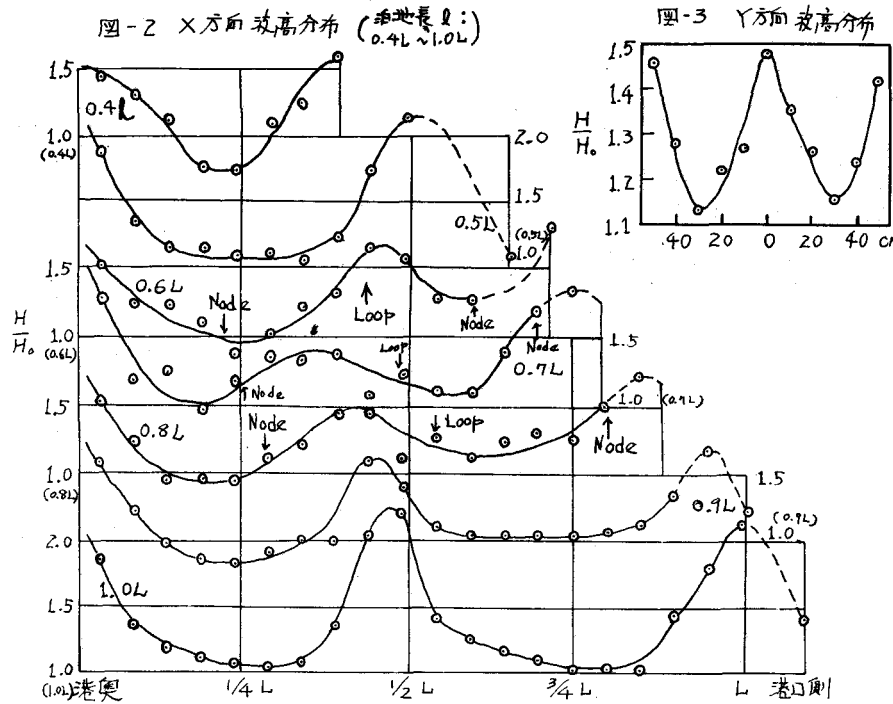
○コの字形泊地の実験 この実験は港口を連絡するものにて、港内側方部分の反射などの影響はなく、港奥の反射や外海とのよきえつてはく、また副振動が港内以外の反射によって乱されたことのないことを考慮した。泊地の長さを変えて実験した泊地内波高を Y 方向に平均して X 方向、X 方向に平均して Y 方向にプロットすと図-2, -3 となり、全平均波高  $H_m$  と  $H_0$  の比、および反射率  $R = (H_{max} - H_{min}) / (H_{max} + H_{min})$  をプロットすると図-4 となる。ただし  $H_{max}$  と  $H_{min}$  とは  $L/4$  間隔にある干支水波高計であるが、図-2 をみると  $L/4$  よりずらしたものもある（副振動ではない）と思われる。値も多少しても同じではなく港口の方が比較的フラットであることから外海の影響により反射波が消されると考えられる。

オーナーの  $H_{max}$  は  $l = L$ ,  $l = 0.5L$  では  $l/2$  にあり値も大きいが、他の場合は  $l/2$  より短いところ

図-1 実験水槽 (単位: cm)



セイシケ港奥より  
4では  $L$ ,  $0.5L$   
は  $H_m$ ,  $R$  とも  
大きさが,  $0.6L$   
,  $0.8L$  は  $R$  は  
小さくなり,  $0.7L$   
で  $H_m$  の極大も  
あります。  
 $Mahauté = \frac{1}{2}$   
と共振します  
波高増大は、一  
般には  $n\frac{1}{2} <$   
 $l < (n + \frac{1}{2})\frac{1}{2}$ ,  
港が開いたとき  
(セイシ) は  
 $l = n\frac{1}{2}$ , 全角



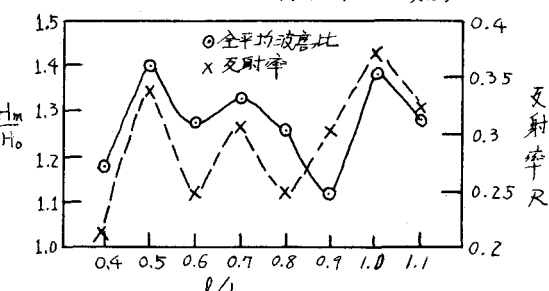
日々ときは  $l = (n + \frac{1}{2})\frac{1}{2}$  である。この実験  
では  $l = n\frac{1}{2}$  で  $H_m$  が大きくセイシに似ています  
が、また  $l = (n + \frac{1}{2})\frac{1}{2}$  附近でも山がみられます。  
それで泊地長と波長とあうと反射波の影響  
が強く、重複波の山が港口に向かって外洋の波によ  
つて港内反射波や危険水域にくくちつてあるよ  
うだ。その中間では共振があらはれていくよ  
うだ。例えばこの矩形泊地の副振動周期を計算

すると、双節で  $0.6L$  のとき水深  $6\text{cm}$  で 2 秒であり、港口補正系数を考えると水深  $10\text{cm}$  で 2 秒である。  
また図-2 より  $0.6L$  では節と瘤の位置があつていいし、 $0.7L$ ,  $0.8L$  にも少しあります。しかし  
副振動と反射波とは分離してみることはできず、夫々の影響の割合ははつきりしない。ソブルドセイ  
重複波の山が港口が開かざるとセイシ状態を示し、その中前東 ( $0.75L$ , ...) 附近では副振動が卓  
越して大きくなるとしてよからう。

横方向の波高分布は図-3 のようだが、これは隅部での波の吸水率の影響により側壁にわざわざの反  
射波が生じたものと考えられるが、中でも  $0.5L$  に近くしたのは他の振動モードによるためで、丁度鹿  
島港セイシが生じているような状況である。

○消波堤の実験 コンクリート泊地は沖浪より波高や高くなるまで港口をせがめる方法がとらわれる。  
しかし harbor parapet により副振動は決して小さくならず、港口堤の反射率を加はり、泊地内の  
状況が悪くなる。例えば全角の  $H_m/H_0$  は  $1.38$  に対して  $\frac{1}{3}$  角で  $1.58$  となる。これらは  $1:1.5$

図-4 U 形泊地の波高 (長さによる変化)



の捨石（港奥）をあわてても 1.09 倍と  
かれどあり。全周囲を消波構造にすればよい  
が、バースの損失が大きい。よってこれは  
最近ヒリルタルコある共振現象を利用してす  
る消波構造を実験してみた。すなはち港地を  
多層式にして各室での反射波の位相を進入波  
と逆にするなどより振動をあさえもので  
、ここでは図-7 のよき有筋柱を参考して港奥  
消波堤とよんでおく。実験は  $1/6$  b の港口中  
で消波堤は港口より  $l'$  にあがれ高さ  $1/3$  b だけ  
南へしている。泊地長は  $l = L = 19.5$  m の用  
いた。図-5 に波高を X 方向に平均して X 方  
向にプロットし、図-6 に  $H_m/H_0$  と  $l'/l$  と  
の関係を、図-7 に等波高線図を示した。

図-5 で消波堤がある場合、波高分布は対  
称的になり、セイミエに似た状況となり、港  
内波高は増大する。 $l' = 1/2 l$  は中央から消波堤  
をあらわす場合でセイミエ状況をえさる。

とはできず、図-6 で  $1/2 l$  は港口、港奥部とも  $H_m/H_0$   
自体と同じ値である。港口部、港奥部で大さき節のセイミ  
エもあらずといふべき。このように反射波による振動が増大  
する場合は中央部に消波堤で止むべきである。消波  
堤を  $1/8 l$ ,  $1/4 l$ ,  $3/8 l$  と奥に向かうと  $H_m/H_0$  は減少し、ま  
た  $3/8 l$  でも小さくなる（図-6）。 $1/8 l$ ,  $1/4 l$ ,  $5/8 l$  では港口部  
と港奥部との差が大きさり。図-7 で  $1/8 l$  と  $1/4 l$  では港  
口部の大さき波高が港奥に進入しますとおり、 $1/4 l$  では  
港口部の波高は四隅で高く全く共振をあこえていふことを示  
し、片側は進風時に進入しますとおり。 $3/8 l$  では港口  
部の共振はすくすく港奥には小さい波しか進入しないこ

とを示している。図-5 で  $1/8 l$  と  $1/4 l$  港口部の塞節のセイミエ、 $3/8 l$  港口部の塞節の副振動状況に  
あり、 $3/8 l$  港奥部、 $5/8 l$  港口部の塞節の副振動状況は既に述べてある。二つは前述の実  
験からもうおづけた。 $1/8 l$  のよき港口部のセイミエ状況で進入波は消え、港口部の波高が大き  
いので、泊地全体からすくすく波高の減少は小さくなるべし、若テ进入波はゆすりとも港口部の副振動が  
小さく  $3/8 l$  の方が効果はあがつてゐる。そして  $1/8 l$  は港口部で进入波をとめるに日港口部が小さ  
すぎたし、 $3/8 l$  は港口部での共振で进入波は消えて港奥部は非常にすぐるまで、港口部の波高で泊  
地全体からすくすく波高の減少は小さく。すなはち共振を利用すれどせよ、ある程度の反射壁工事

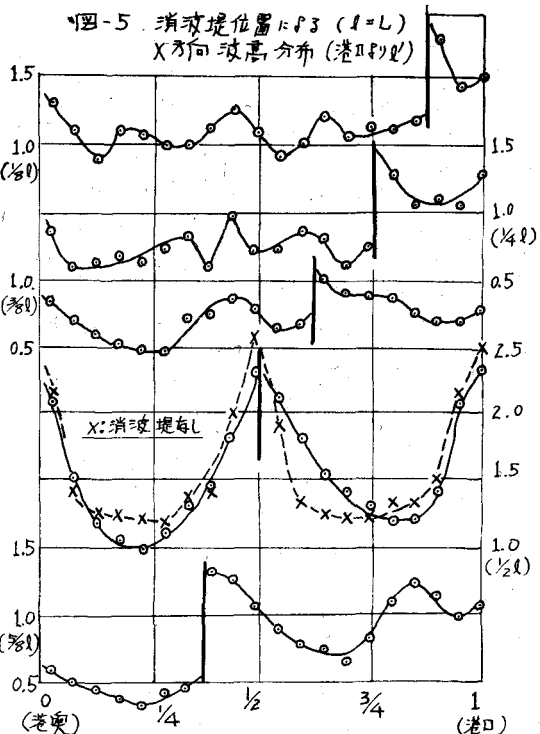
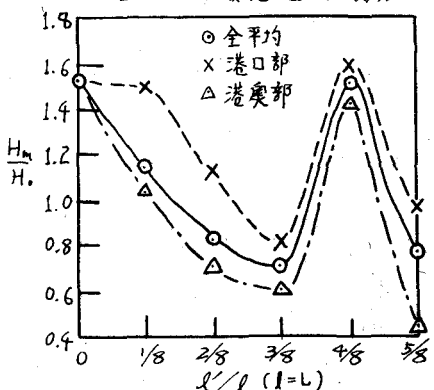


図-5 消波堤位置による X 方向波高分布 (港内)



ある大きさの壁を設けり; 3より考え方ばかりもぬけし、あまり大きき共振を起こすせて毛無意味であることを悟つた。そして  $3/8L$  のよみた兩方に振動系がありどちらの位相が逆に向つてリ3よりはちれば効果があがるといふ原理的を結論であつた。(しかしバースのヒリ方を参考して113113を組合せも考えら化したあつた。

航路長を定めし場合も二ルートを利用してみて、例えは図-8のよみにあり、泊地から $1/2L$ ではセイシエ状不適達し、 $H_m/H_0=1.63$ と増加してくろが、泊地長 $3/4L$ では進入波はあらず泊地内は振動系なしで  $H_m/H_0=1.18$ と小さくなる。泊地長 $2L$ 以上(図-7の $3/8L$ に相当)では泊地だけでの副振動があつり大きくなるだ。

#### ○おまけ

ここでは定性的な検討(かちこなえちがつたが、共振計算を行つて、定量的な検討を将来続行する。その結果、高潮などによる振動にも適用できればと考えていふ。実験は当浮筒生産の木橋部、日高嘉明、山下彦二の諸君に行つてもうつて、前記して感謝の意を表す。

—以上—

図-7 消波堤位置による等波高線(cm)  
(港口より X') ( $L=L'$ )

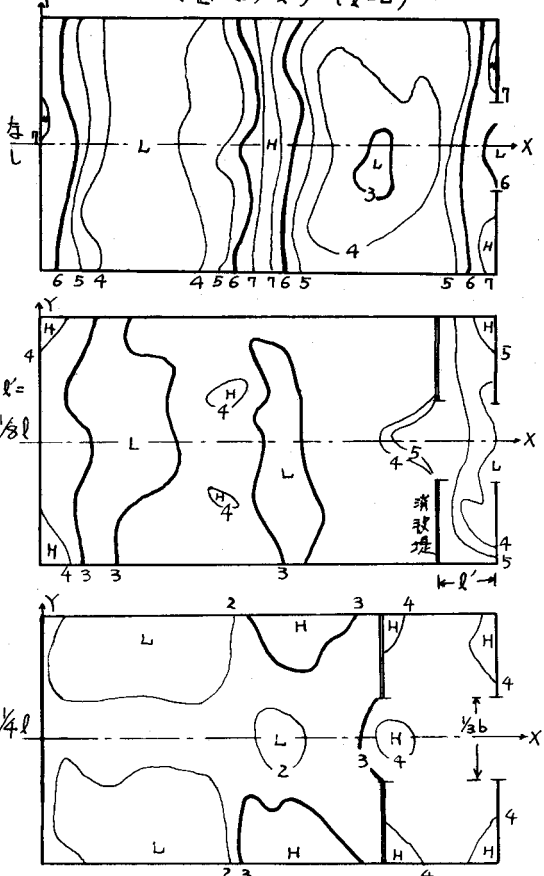


図-8 航路長による等波高線(cm)

